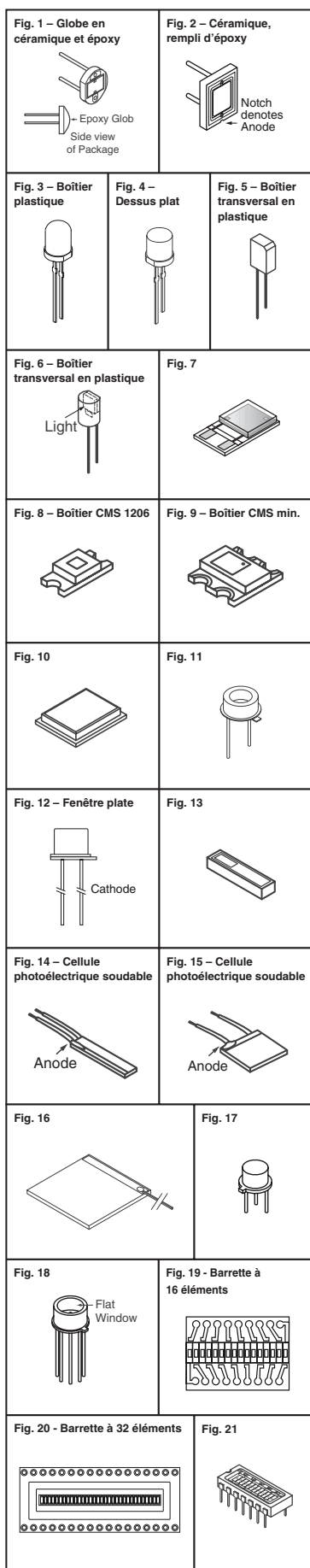


## Détecteurs et émetteurs de silicium

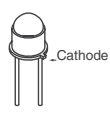


## Photodétecteurs

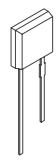
Fig.	Zone active (mm)	Cour. de court-circuit (Isc) (uA) typ.	Courant obscur (Id) (nA) max.	Longueur d'onde de sensibilité (nm)		Capuchon de raccordement (pF) typ.	Temps de réponse (ns) typ.	Angle de visualisation (2 x Théta)	N° de référence Digi-Key	Prix unitaire				
				Min.	Max.					1	5	25	100	
<b>Détecteurs à effet photoconducteur surbrillants bleus, ligne de courbe B</b>														
1	17.74	235	50	350	950	1,100	100	20	120	PDB-C107-ND	13.15	—	9.32	8.58
2	100	1,300	30	350	950	1,100	300	25	120	PDB-C110-ND	49.93	—	39.53	37.45
1	7.95	110	30	350	950	1,100	60	16	120	PDB-C113-ND	12.86	—	9.36	8.48
3	1.55	60	30	400	950	1,100	6	10	30	PDB-C134-ND	1.81	—	1.05	.93
4	4.10	67	30	400	950	1,100	18	50	61	PDB-C139-ND	2.80	—	1.73	1.52
1	29.02	400	25	350	950	1,100	200	18	120	PDB-C140-ND	23.65	—	16.87	16.21
3	4.10	150	30	400	950	1,100	18	50	59	PDB-C142-ND	2.80	—	1.73	1.52
5	8.02	90	15	400	950	1,100	10	15	120	PDB-C156-ND	2.55	—	1.57	1.36
6	9.00	145	30	400	950	1,100	10	50	120	PDB-C158-ND	2.55	—	1.57	1.36
7	7.95	110	10	350	950	1,100	60	100	—	PDB-C165-ND	12.82	—	8.17	7.65
8	0.74	10	10	400	950	1,100	15	50	140	PDB-C152SMCT-ND	2.01	—	1.19	1.00
8	0.74	10	10	400	950	1,100	15	50	140	PDB-C152SMTR-ND	—	2375.84/3,000	—	—
9	2.10	25	10	400	950	1,100	4	10	—	PDB-C154SMCT-ND	2.12	—	1.26	1.06
9	2.10	25	10	400	950	1,100	4	10	—	PDB-C154SMTR-ND	—	1707.55/2,000	—	—
10	7.67	90	30	400	900	1,100	15	20	—	PDB-C171SMCT-ND	2.65	—	1.57	1.32
10	7.67	90	30	400	900	1,100	15	20	—	PDB-C171SMTR-ND	—	1072.56/1,000	—	—
<b>Détecteurs à effet photoconducteur avec filtre lumière du jour, ligne de courbe D</b>														
3	1.55	60	30	700	950	1,100	6	10	30	PDB-C134F-ND	1.81	—	1.05	.93
4	4.10	67	30	700	950	1,100	18	50	61	PDB-C139F-ND	2.80	—	1.73	1.52
3	4.10	150	30	700	950	1,100	18	50	40	PDB-C142F-ND	2.80	—	1.73	1.52
5	8.02	90	15	700	950	1,100	10	15	120	PDB-C156F-ND	2.55	—	1.57	1.36
6	9.00	145	30	700	950	1,100	10	50	120	PDB-C158F-ND	2.55	—	1.57	1.36
9	2.10	25	10	700	950	1,100	4	10	—	PDB-C154SMFCT-ND	2.12	—	1.26	1.06
<b>Détecteurs photovoltaïques surbrillants bleus, ligne de courbe B</b>														
11	1.17 x 2.64	40	300	350	—	1,100	340	190	65	PDB-V104-ND	43.25	—	33.90	31.56
1	17.74	200	0.80	350	950	1,100	2,000	1,000	120	PDB-V107-ND	8.03	—	5.53	5.02
2	100	1,200	0.333	350	950	1,100	10,000	2,000	120	PDB-V110-ND	24.31	—	18.24	17.02
1	7.95	80	0.50	350	950	1,100	800	750	120	PDB-V113-ND	13.00	—	8.41	7.88
11	3.15 x 5.69	230	550	350	—	1,100	2,000	190	63	PDB-V114-ND	46.42	—	36.76	34.82
<b>U.V. Détecteurs photovoltaïques surbrillants, ligne de courbe A — Conforme à RoHS</b>														
12	17.63	230	0.05	190	—	1,100	2,000	900	63	PDU-V114-ND	28.91	—	22.25	20.76
<b>Cellules photoélectriques soudables surbrillantes rouges, ligne de courbe B</b>														
13	1.88 x 0.56	17	2.00	350	—	1,100	10	10	—	PDB-C601-1-ND	2.36	—	1.45	1.26
13	1.88 x 0.56	13	7.00	350	—	1,100	250	300	—	PDB-V601-1-ND	2.36	—	1.45	1.26
14	14.50	185	35	350	940	1,100	125	25	—	PDB-C607-2-ND	13.21	—	8.55	8.01
15	42.40	545	75	350	940	1,100	240	30	—	PDB-C609-2-ND	13.90	—	9.00	8.43
16	6.07 x 6.98	545	75	350	—	1,100	240	30	—	PDB-C609-3-ND	11.25	—	8.15	7.25
16	6.07 x 6.98	545	100	350	—	1,100	5,500	1,500	—	PDB-V609-3-ND	11.25	—	8.15	7.25
14	68.70	900	150	350	940	1,100	300	45	—	PDB-C612-2-ND	13.25	—	9.64	8.74
14	3.91 x 17.55	800	80	350	—	1,100	9,000	2,800	—	PDB-V612-2-ND	14.50	—	10.70	9.84
15	86.40	1,000	180	350	940	1,100	350	50	—	PDB-C613-2-ND	13.79	—	10.03	9.09
14	232.70	2,800	700	350	940	1,100	775	150	—	PDB-C615-2-ND	24.43	—	18.33	17.10
14	9.25 x 25.17	2,800	700	350	—	1,100	25,800	7,000	—	PDB-V615-2-ND	43.25	—	33.90	31.56
14	62.91	650	135	350	940	1,100	285	40	—	PDB-V617-2-ND	12.80	—	9.32	8.44
<b>Doublettes cellules surbrillantes bleues, mosaïques de quadrants et de détecteurs multi-éléments, ligne de courbe B</b>														
17	3.23‡	75	2.00	350	950	1,100	15	8	72	PDB-C201-ND	20.92	—	15.70	14.65
18	1.61‡	50	1.00	350	950	1,100	8	7	71	PDB-C203-ND	24.82	—	18.62	17.38
19	2.31‡	28	5.00	350	950	1,100	40	800	—	PDB-C216-ND	45.28	—	35.49	33.04
20	1.47‡	11	0.15	350	950	1,100	30	200	—	PDB-C232-ND	—	—	—	127.05
21	2.03 x 0.97‡	—	2.70	350	—	1,100	28	190	—	SD219-51-03-301-ND	283.97	—	238.17	—
<b>Photodiodes au silicium à effet photoconducteur</b>														
23	2.90	38	1.00	400	950	1,100	60	100	—	PDB-C168-ND	6.14	—	4.18	3.76
23	8.10	102	30	400	950	1,100	25	50	—	PDB-C169-ND	6.14	—	4.18	3.76
23	1.70	27	0.60	400	950	1,100	30	100	—	PDB-C170-ND	6.14	—	4.18	3.76
10	7.67	85	30	840	900	1,050	15	20	—	PDI-C172SMFCT-ND	2.65	—	1.57	1.32
10	7.67	85	30	840	900	1,050	15	20	—	PDI-C172SMFTR-ND	—	1072.56/1,000	—	—
10	7.67	90	30	600	900	1,050	15	20	—	PDV-C173SMCT-ND	2.65	—	1.57	1.32
<b>Photodétecteurs InGaAs — Conforme à RoHS</b>														
17	200	—	1.00	800	—	1,700	0.75	0.18 (max.)	—	SD004-11-41-211-ND	17.02	—	13.25	12.44
17	200	—	5.00	800	—	1,700	6	1.15 (max.)	88	SD012-11-41-211-ND	42.02	—	34.76	32.59
17	1.50	—	50	800	—	1,700	250	10.0 (max.)	113	SD060-11-41-211-ND	146.45	—	126.11	122.74
<b>Détecteurs au niture de gallium (GaN) — Conforme à RoHS</b>														
11	0.076	1.0	100,000	200	—	365	24	10	61	PDU-G101A-ND	13.70	—	9.97	9.03
11	0.076	1.0	100,000	200	—	320	24	10	61	PDU-G102B-ND	15.92	—	11.75	10.81
24	—	.001	100,000	200	—	365	24	10	—	PDU-G105A-SM-ND	10.96	—	7.94	7.07
24	—	.001	100,000	200	—	320	24	10	—	PDU-G106B-SM-ND	11.27	—	8.20	7.44
<b>Photodiode avalanche au silicium — Conforme à RoHS</b>														
17	0.30	—	10	400	—	1,100	—	1	—	SD012-70-62-541-ND	107.50	—	91.40	86.11
17	0.90	—	30	400	—	1,100	—	2	—	SD036-70-62-531-ND	116.28	—	98.86	93.14
25	5.00	—	18	350	—	1,050	25	10	—	SD197-70-72-591-ND	799.71	—	—	—
25	5.00	—	18	350	—	1,050	25	10	—	SD197-70-74-591-ND	799.71	—	—	—
25	10	—	35	350	—	1,050	50	12	—	SD394-70-72-591-ND	1097.10	—	—	—
25	10	—	35	350	—	1,050	50	12	—	SD394-70-74-591-ND	1097.10	—	—	—
26	16	—	600	350	—	1,050	130	15	—	SD630-70-72-500-ND	1373.66	—	—	—
26	16	—	600	350	—	1,050	130	15	—	SD630-70-73-500-ND	1373.66	—	—	—
26	16	—	600	350	—	1,050	130	15	—	SD630-70-74-500-ND	1373.66	—	—	—
26	16	—	600	350	—	1,050	130	15	—	SD630-70-75-500-ND	1373.66	—	—	—
<b>Photodiode au silicium surbrillante rouge</b>														
17	0.83 x 1.02	—	8.00	350	—	1,100	5.6	190	91	SD041-11-33-211-ND	22.11	—	16.58	15.48
18	0.50‡	—	0.40	350	—	1,100	15	190	67	SD055-23-21-211-ND	52.83	—	41.83	39.63
11	1.30	—	2.00	350	—	1,100	28	190	51	SD057-11-21-011-ND	23.97	—	17.98	16.78
11	1.30	—	0.50	350	—	1,100	28	190	51	SD057-14-21-011-ND	23.97	—	17.98	16.78
17	0.58 x 1.19	—	1.00	350	—	1,100	15	190	42	SD066-24-21-011-ND	29.48	—	22.68	21.17
17	1.09 x 2.67	—	30	350	—	1,100	17.5	190	59	SD076-11-31-211-ND	28.74	—	22.11	20.64
22	1.09 x 2.67	—	0.90	350	—	1,100	50	190	55	SD076-14-21-011-ND	23.46			

**Détecteurs et émetteurs de silicium**


**Fig. 22 – Fenêtre optique**




**Fig. 23**




**Fig. 24**



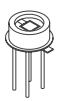
**Fig. 25**




**Fig. 26**



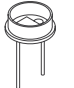
**Fig. 27**




**Fig. 28**



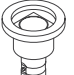
**Fig. 29**



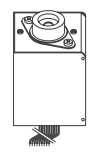
**Fig. 30**



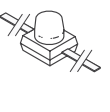
**Fig. 31**




**Fig. 32**




**Fig. 33**



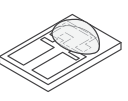
**Fig. 34**




**Fig. 35**




**Fig. 36**



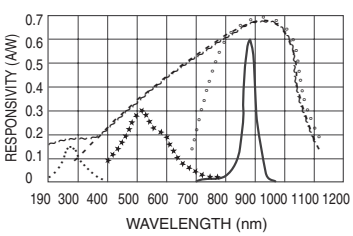
**Fig. 37**



**Fig. 38**



**Graphe de courbe**



RESPONSIVITY (AWV)

WAVELENGTH (nm)

A(-) U.V. Enhanced Silicon Detectors  
 B(-) Blue Enhanced Silicon Detectors  
 C(.) Silicon Carbide U.V. Detectors  
 D(\*) Daylight Filter Detectors  
 E(-) GaAlAs Photodiodes  
 F(\*) CdS Photoconductive Cells (relative responsivity)

**Photodétecteurs (suite)**

Fig.	Zone active (mm)	Cour. de court-circuit (Isc) (uA) typ.	Courant obscur (Id) (nA) max.	Longueur d'onde de sensibilité (nm)			Capuchon de raccordement (pF) typ.	Temps de réponse (ns) typ.	Angle de visualisation (2 x Theta)	N° de référence Digi-Key	Prix unitaire			
				Min.	Crête	Max.					1	5	25	100
18	9.65‡	—	27	350	—	1,100	375	190	107	SD380-23-21-051-ND◆	122.25	—	98.88	91.69
18	9.65‡	—	27	350	—	1,100	375	190	120	SD380-23-21-251-ND◆	138.82	—	114.98	106.46
17	—	—	31	350	—	1,100	390	190	—	SD385-24-21-041-ND◆§	39.59	—	30.22	28.65
18	11.30	—	150	250	—	1,100	1,700	—	—	SD444-41-21-261-ND▲	349.90	—	297.30	—
2	1.00	—	120	350	—	1,100	1,700	190	120	SD445-11-21-305-ND◆	45.37	—	35.56	33.11
2	1.00	—	30	350	—	1,100	1,700	190	120	SD445-14-21-305-ND◆	45.37	—	35.56	33.11
<b>Photodiodes au silicium optimisées bleues — Conforme à RoHS</b>														
29	5.31 x 8.10	500	15	350	—	1,100	120	190	79	PDB-C109-ND	44.11	—	34.58	32.19
30	0.33 x 0.33	1.5	2.00	350	—	1,100	5	190	—	PDB-C122-ND	—	28.38	25.24	23.94
7	1.17 x 2.64	25	10	350	—	1,100	7	190	—	PDB-C164-ND	21.51	—	16.14	15.06
17	2.54	—	6.40	350	—	1,100	87	190	82	SD100-12-22-021-ND	23.12	—	17.35	16.19
18	2.54	—	10	250	—	1,100	87	—	—	SD100-42-22-231-ND▲	93.78	—	75.90	70.48
27	2.54 x 2.18	—	—	—	—	—	—	—	—	SD112-45-11-221-ND▲	66.48	—	53.19	50.34
17	5.59 x 7.62	—	52	350	—	1,100	725	190	90	SD290-12-22-241-ND	44.66	—	35.01	32.59
31	11.28	—	52	350	—	1,100	725	190	95	SD444-12-12-171-ND	139.24	—	115.32	106.78
18	11.30	—	150	250	—	1,100	1,700	—	—	SD444-42-22-261-ND▲	349.90	—	297.30	—
<b>Photodiodes au silicium optimisées UV — Conforme à RoHS</b>														
17	2.54	—	6.50	250	—	1,100	87	190	90	SD100-13-23-222-ND	37.66	—	28.74	27.26
18	2.54	—	10	250	—	1,100	87	—	—	SD100-43-23-232-ND▲	93.78	—	75.90	70.48
17	5.08	—	30	250	—	1,100	345	190	95	SD200-13-23-242-ND	63.44	—	50.76	48.04
18	11.30	—	150	250	—	1,100	1,700	—	—	SD444-43-23-262-ND▲	349.90	—	297.30	—
<b>Module de photodiodes avalanche au silicium — Conforme à RoHS</b>														
32	5.00	—	—	350	—	1,050	—	—	—	SD197-70-72-661-ND	2001.00	—	—	—
32	5.00	—	—	350	—	1,050	—	—	—	SD197-70-74-661-ND	2001.00	—	—	—
32	10.00	—	—	350	—	1,050	—	—	—	SD394-70-72-661-ND	2217.32	—	2088.83	—
32	10.00	—	—	350	—	1,050	—	—	—	SD394-70-74-661-ND	2217.32	—	2088.83	—
<b>Photodiode plastique — Conforme à RoHS</b>														
33	0.61	10	10	700	—	1,100	25	6	48	PDB-C144-ND	2.92	—	1.81	1.59
33	0.43	10	30	400	—	1,100	5	6	48	PDB-C145-ND	2.92	—	1.81	1.59
34	0.43	2.0	30	400	—	1,100	1	6	120	PDB-C150SM-ND	5.46	—	3.16	2.83
6	2.84	120	30	400	—	1,100	30	50	120	PDB-C157-ND	2.67	—	1.65	1.45
35	2.65	90	30	400	—	1,100	15	20	120	PDB-C160SM-ND	2.50	—	1.53	1.33

‡ Par élément § Double-cellule ◆ Quad ▲ Détecteur/Amplificateur ◆ Conforme à RoHS

**Composants oxymétriques**

Fig.	Type de tension directe (V)	Tension disruptive inversée (V)	661 nm			880/905/940 nm			N° de référence Digi-Key	Prix unitaire					
			Type de longueur d'onde de pointe (nm)	Type de largeur de bande passante (nm)	Type de temps de montée/ chute (µs)	Type de tension directe (V)	Tension disruptive inversée (V)	Type de longueur d'onde de pointe (nm)		Type de largeur de bande passante (nm)	Type de temps de montée/ chute (µs)	1	25	100	250
36	1.8	5	661	25	0.1/0.04	1.2	5	905	50	1.4/0.7	PDI-E832-ND	12.36	8.00	7.50	7.17
36	1.8	5	661	25	0.8/0.8	1.3	5	940	50	0.8/0.8	PDI-E833-ND◆	43.10	33.78	31.45	30.29
37	1.8	5	661	21	0.1/0.04	1.3	5	880	50	0.8/0.8	PDI-E837-ND◆	43.10	33.78	31.45	30.29
36	1.8	5	661	21	0.1/0.04	1.2	5	880	50	0.8/0.8	PDI-E838-ND◆	43.10	33.78	31.45	30.29

◆ Conforme à RoHS

**Émetteurs à infrarouge ultra puissants**

Fig.	Type de tension directe (V)	Connexion de courant direct (mA)	Type de puissance de sortie (mW)	Angle de faisceau (2x theta)	Type de longueur d'onde de pointe (nm)	N° de référence Digi-Key	Prix unitaire			
							1	100	250	250
12	1.5	100	5.6	60	880	PDI-E801-ND	12.59	9.17	8.31	8.02
22	1.5	100	5	10	880	PDI-E802-ND◆	12.59	9.17	8.31	8.02
22	1.5	100	9	6	880	PDI-E803-ND	12.59	9.17	8.31	8.02
22	1.5	100	20	80	880	PDI-E804-ND◆	14.46	9.36	8.77	8.39
22	1.5	100	10	5	880	PDI-E805-ND	12.59	9.17	8.31	8.02
3	1.5	100	30 (max.)	35	880	PDI-E808-A-ND	11.93	8.68	7.87	7.59
3	1.6	100	90	—	880	PDI-E809-ND◆	11.93	8.68	7.87	7.59
22	1.5	180	15	—	880	PDI-E813-ND◆	46.62	36.54	34.02	32.76
22	1.7	100	2.7	—	850	PDI-E825-ND◆	30.23	23.25	21.71	20.54
34	1.2	100	0.7	—	940	PDI-E940SM-ND◆	11.93	8.68	7.87	7.59

◆ Conforme à RoHS

**Cellules photoconductrices**

Fig.	Dim. D (mm)	Résistance de cellule‡				Type de longueur d'onde de pointe (nm)	Type de montage/ descente (ms)	N° de référence Digi-Key	Prix unitaire					
		10 Lux à 2 856 K		Sombre					1	25	100	250		
		Min. (KΩ)	Max. (KΩ)	Min. (MΩ)	SEC									
38, ligne de courbe F	11.00	8	16	0.3	10	520	55/25	PDV-P5001-ND	2.24	1.37	1.23	1.12		
		12	30	0.5				PDV-P5002-ND	2.24	1.37	1.23	1.12		
		12	58	1				PDV-P5003-ND	2.24	1.37	1.23	1.12		
	5.10	7.20	4	20	0.5	10	520	55/20	PDV-P7002-ND◆	2.36	1.45	1.26	1.19	
			3	11	0.2				PDV-P8001-ND	1.81	1.05	.93	.86	
			40	120	1				PDV-P8005-ND	1.81	1.05	.93	.86	
		5.10	4.20	80	240	5	10	520	60/25	PDV-P8006-ND	1.81	1.05	.93	.86
				4	11	0.15				PDV-P8101-ND	1.81	1.05	.93	.86
				9	20	0.3				PDV-P8102-ND	1.81	1.05	.93	.86
				16	33	0.5				PDV-P8103-ND◆	1.85	1.10	.97	.90
				27	60	2				PDV-P8104-ND◆	1.85	1.10	.97	.90
				50	94	2.5				PDV-P8105-ND◆	1.54	.94	.81	.78
80	240	20	PDV-P8107-ND	1.81	1.05	.93	.86							
4.20	7.20	4	11	0.3	10	520	60/25	PDV-P9001-ND	1.52	.87	.75	.71		
		9	20	0.5				PDV-P9002-ND	1.52	.87	.75	.71		
		11	20	0.5				PDV-P9002-1-ND	1.52	.87	.75	.71		
	4.20	10	16	33	1	10	520	70/15	PDV-P9003-ND	1.52	.87	.75	.71	
			23	33	1				PDV-P9003-1-ND	1.52	.87	.75	.71	
			27	60	2				PDV-P9004-ND	1.52	.87	.75	.71	
			50	94	2.5				PDV-P9005-ND	1.52	.87	.75	.71	
			48	140	20				PDV-P9005-1-ND	1.52	.87	.75	.71	
			80	200	5				PDV-P9006-ND	1.52	.87	.75	.71	
			10	100	1				PDV-P9007-ND	1.52	.87	.75	.71	
			10	200	20				PDV-P9008-ND	1.52	.87	.75	.71	
			20	45	1				PDV-P9103-ND	1.52	.87	.75	.71	
10	50	5	PDV-P9200-ND	1.52	.87	.75	.71							
5	20	20	PDV-P9203-ND	1.52	.87	.75	.71							

◆ Conforme à RoHS ‡ Les cellules photoélectriques sont adaptées à une lumière de 100 à 500 Lux.

**Livraison gratuite pour les commandes de plus de 65 € ! Tous les prix sont indiqués en euros.**

Ces photodiodes utilisent des semi-conducteurs au silicium amorphe sur substrat de verre. Elles sont idéales pour le réglage de la luminosité et la commande de systèmes d'éclairage.

**Caractéristiques :** • Fortement réceptif à la lumière visible mais non réceptif à la lumière infrarouge (proche de la vision de l'homme) • Une mesure précise de l'éclairage peut être prise sans filtre infrarouge

**Spécifications :** • Température de fonctionnement : -20 à 85 °C • Zone de réponse spectrale : 350 à 750 nm • Pic de sensibilité : 580 nm ±20

**Applications :** • Commande de luminosité pour écrans LCD, EL et CRT • Commande de luminosité pour claviers (téléphones mobiles, par ex.) • Positionnement de la ligne de balayage d'un rétroprojecteur • Réglage de l'exposition d'un appareil photo numérique • Réglage de la sous-exposition d'un appareil photo numérique

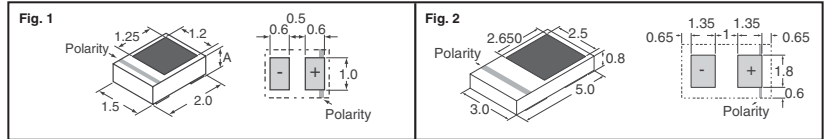


Fig.	Courant de sortie max (µA) (VR = 5 V)	Tension de polarisation inverse max. (V)	Courant obscur max. (pA) VR = 0,05 V	Dim. A (mm)	N° de référence Digi-Key	Prix unitaire de bande coupée		N° de référence Digi-Key	Bande et bobine		N° de référence TDK
						1	10		Qté	Prix	
1	0.16	10	10	0.6	445-2589-1-ND	3.07	2.12	445-2589-2-ND	4,000	1400.94/M	BCS2015G1
	0.13	6	10	.25	445-2591-1-ND	3.07	2.12	—	—	—	BCS2015H1
2	0.55	6	100	—	445-2590-1-ND	5.29	4.02	445-2590-2-ND	3,000	2855.24/M	BCS5030G1

**OSRAM** Opto Semiconductors **Optoélectronique**

**Photodiodes**

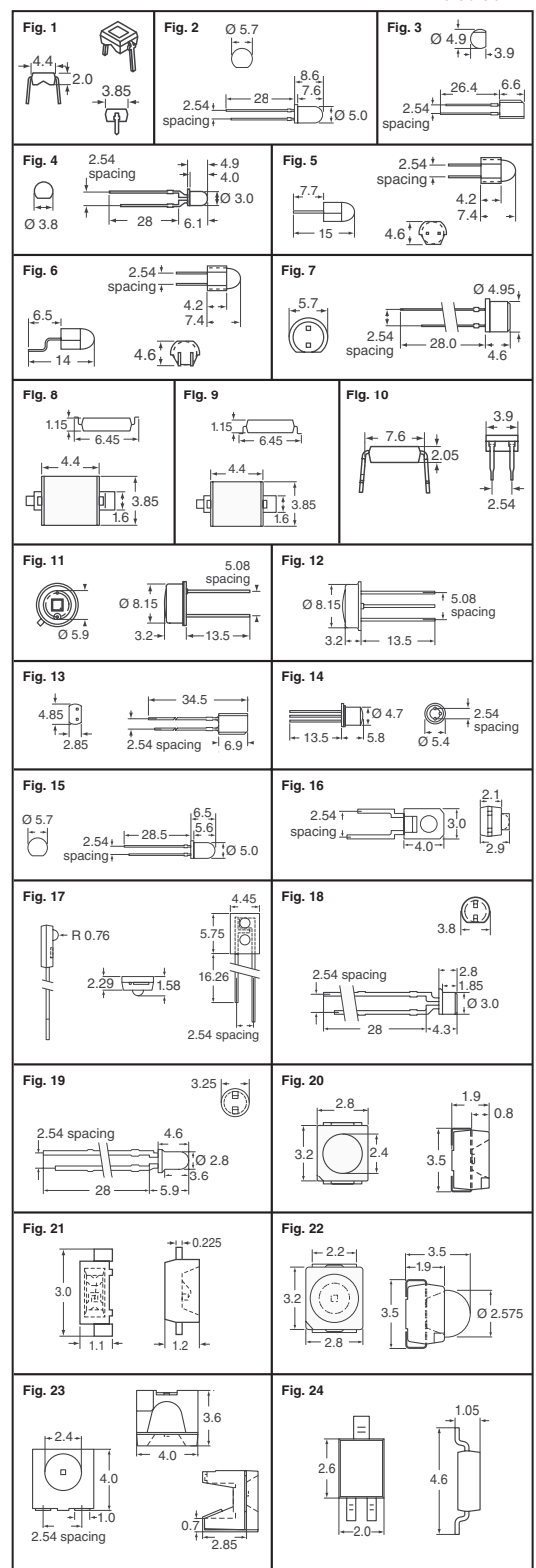
Fig.	Tension (V)	Cour. photo (µA)	Courant obscur (nA)	Longueur d'onde de crête (nm)	Temps de montée/descente (ns)	Angle de vision (°)	N° de référence Digi-Key	Prix unitaire en vrac			N° de référence Osram
								1	10	100	
1	1.3	50	2	880	20	120	475-1072-ND	.64	.52	.47	BPW34FA
	1.3	50	1	900	5	40	475-1075-ND	.66	.53	.48	SFH203FA
2	1.3	135	1	850	5	20	475-1077-ND	.61	.49	.45	SFH213
	1.3	80	2	850	20	120	475-1076-ND	.78	.63	.57	SFH206K
3	1.3	60	2	950	20	120	475-1429-ND	.61	.49	.45	SFH 205 F
	1.3	60	2	900	20	120	475-1430-ND	.61	.49	.45	SFH 205 FA
4	1.3	28	.05	860	10	34	475-1078-ND	.49	.40	.36	SFH229
	1.3	20	.05	900	10	34	475-1079-ND	.49	.40	.36	SFH229FA
5	—	100	0.1	850	5	30	475-1435-ND	.51	.41	.37	SFH 2505-Z
	—	—	0.1	900	5	30	475-1436-ND	.51	.41	.37	SFH 2505 FA-Z
6	—	—	0.1	900	5	30	475-1434-ND	.51	.41	.37	SFH 2500 FA-Z
7	1.3	—	1	900	5	150	475-1428-ND	.76	.61	.56	SFH 203 PFA
8	1.3	50	2	880	20	120	475-1346-ND	.80	.64	.58	BPW 34 FASR-Z
9	1.3	55	2	850	20	120	475-1345-1-ND†	1.07	.89	.72	BP 104 S-Z
	1.3	55	2	850	20	120	475-1345-2-ND†	800.42/1,500			BP 104 S-Z
	1.2	—	0.1	570	200µs	120	475-2579-1-ND†	1.56	1.30	1.04	SFH 2430-Z
	1.2	—	0.1	570	200µs	120	475-2579-2-ND†	1168.22/1,500			SFH 2430-Z
10	1.3	34	10	900	500	120	475-1349-ND	10.84	8.68	7.87	BPX 48
11	1.3	—	2	850	20	110	475-1350-ND	8.30	6.65	6.03	BPX 61
12	1.0	—	10	900	500	110	475-1431-ND	9.33	7.47	6.77	SFH 221
13	1.3	34	2	900	20	120	475-1432-ND	.53	.42	.39	SFH 225 FA
	1.3	50	2	900	20	130	475-1433-ND	.54	.44	.40	SFH 235 FA

† Bande coupée ‡ Bande et bobine

**Phototransistors**

Fig.	Collecteur-émetteur (V) max.	Émiss. courant photo vers collecteur typ. (mA)	Courant obscur (nA)	Longueur d'onde de crête (nm)	Temps de montée/descente (µs) typ.	Angle de vision (°)	N° de référence Digi-Key	Prix unitaire en vrac			N° de référence Osram
								1	10	100	
2	70	7.5	3	870	11	20	475-1080-ND	.30	.25	.23	SFH313FA
	35	—	1	880	10	50	475-1437-ND	.34	.28	.25	SFH 300-3/4
	35	—	1	880	10	50	475-1438-ND	.36	.29	.26	SFH 300 FA-3/4
4	35	—	1	900	7/8	24	475-1440-ND	.36	.29	.26	SFH 309 FA-4/5
6	35	—	3	830	—	26	475-1453-ND	.41	.33	.30	SFH 3500-Z
14	50	—	20	880	9/12	80	475-1347-ND	1.10	.89	.80	BPX 38-2/3
	50	—	20	880	12/15	30	475-1348-ND	1.05	.84	.77	BPX 43-3/4
	35	—	1	830	7/9	16	475-1351-ND	1.20	.97	.88	BPY 62-3/4
	50	3	20	880	15/18	30	475-1074-ND	1.10	.89	.80	BPX43-4/5
15	70	1.9	3	850	11	80	475-1081-ND	.30	.25	.23	SFH314
16	35	—	1	920	7/9	28	475-1445-ND	.29	.23	.21	SFH 3100 F
17	30	—	3	850	10	70	475-1419-ND	.36	.29	.26	LPT 80A
18	35	—	1	860	6	150	475-1441-ND	.30	.25	.23	SFH 309 P
	35	—	1	900	6	150	475-1442-ND	.31	.26	.23	SFH 309 PFA
19	70	—	5	780	7/8	50	475-1443-ND	.36	.29	.26	SFH 310-2/3
	70	—	5	880	7/8	50	475-1444-ND	.29	.23	.21	SFH 310 FA-2/3
20	35	—	1	980	7/8	120	475-1446-ND	.29	.23	.21	SFH 320-3/4-Z
	35	—	1	860	—	120	475-2572-1-ND†	.84	.70	.56	SFH 7225-Z
	35	—	1	860	—	120	475-2572-2-ND†	838.53/2,000			SFH 7225-Z
	35	—	1	860	7	120	475-2570-1-ND†	.84	.70	.56	SFH 7221-Z
	35	—	1	860	7	120	475-2570-2-ND†	838.53/2,000			SFH 7221-Z
	—	—	—	565	500	120	475-2571-1-ND†	.84	.70	.56	SFH 7222-Z
21	15	—	2	920	7	120	475-1447-ND	.56	.45	.41	SFH 3204-Z
22	35	—	1	990	7	50	475-1448-ND	.41	.33	.30	SFH 3219-Z
23	35	—	1	980	7/8	120	475-1449-ND	.36	.29	.26	SFH 325-3/4-Z
	35	—	1	980	7/8	120	475-1450-ND	.36	.29	.26	SFH 325 FA-3/4-Z
24	70	—	3	850	24/34	120	475-1451-ND	.84	.70	.56	SFH 3400-2/3-Z
	5.5	—	3	570	—	120	475-1452-1-ND†	.97	.81	.65	SFH 3410-2/3-Z
	5.5	—	3	570	—	120	475-1452-2-ND†	965.58/2,000			SFH 3410-2/3-Z
25	35	—	5	870	13/15	40	475-1439-ND	.47	.38	.35	SFH 303 FA-3/4

† Bande coupée ‡ Bande et bobine



(suite)

**Digi-Reel** La plupart des composants à découper à technologie CMS sont disponibles sur une Digi-Reel®. Pour connaître la référence bobine Digi-Reel, modifier 1-ND en 6-ND ou CT-ND en DKR-ND. Voir les services Digi-Key® en page 2 pour plus d'informations.

**Livraison gratuite pour les commandes de plus de 65 € ! Tous les prix sont indiqués en euros.**

fr.digikey.com — Téléphone (numéro vert) : 0800-161-113 — Téléphone : +31 (0)53-484-9584 — Télécopieur : +33 (0)38-717-0111

(FR091) 2397